



UNIwersytet Warszawski
Wydział Matematyki, Informatyki i Mechaniki

Michał Mikołajczyk

Nr albumu: 171827

Redukcja liczby reguł decyzyjnych

Praca magisterska
na kierunku MATEMATYKA

Praca wykonana pod kierunkiem
prof. dr hab. Andrzeja Skowrona
Instytut Matematyki

Warszawa, maj 2001 r.

Pracę przedkładam do oceny

Data

Podpis autora pracy

Praca jest gotowa do oceny przez recenzenta

Data

Podpis kierującego pracą

Streszczenie: W niniejszej pracy przedstawiony został problem redukcji liczby reguł decyzyjnych niezbędnych do uzyskania aproksymacyjnego opisu pojęć o zadowalającej jakości. Zawiera ona opis konstrukcji systemu decyzyjnego opartego na niewielkiej liczbie reguł, które powstały w wyniku uogólnienia zbioru wszystkich niesprzecznych reguł decyzyjnych. Zgodnie z zasadą minimalnego opisu naturalne jest dążenie do redukcji liczby reguł, prowadzącej do krótszego opisu pojęć (patrz [13]). Na końcu pracy zostały przedstawione wyniki eksperymentów pozwalające na porównanie przedstawionego systemu z innymi znanymi z literatury systemami decyzyjnymi.

Słowa kluczowe: system decyzyjny, reguły decyzyjne, klasyfikacja, indukcyjne definiowanie pojęć

Klasyfikacja tematyczna¹: 94A17, 03B48, 62C20, 60J20, 68T05, 68W20, 68W25

Praca była realizowana w ramach grantu KBN 8T1102519.

Podziękowania

Chciałbym gorąco podziękować mojemu opiekunowi naukowemu prof. dr hab. Andrzejowi Skowronowi, za wszystkie uwagi i bezcenne rady podczas pisania niniejszej pracy.

Chciałbym także podziękować dr Janowi G. Bazanowi za udostępnienie programu liczącego i skracającego reguły, z którego korzystałem w przeprowadzonych eksperymentach.

¹według AMS Mathematical Subject Classification 2000

Spis treści

1	Wstęp	5
2	Wprowadzenie	6
2.1	Zarys problemu	6
2.2	Systemy decyzyjne	8
2.2.1	System KNN	8
2.2.2	System klasyczny oparty na regułach decyzyjnych	8
3	Redukcja liczby reguł decyzyjnych	9
3.1	Motywacja	9
3.2	Podstawowe trudności	9
4	Przykłady znanych metod redukcji liczby reguł	10
4.1	Redukcja poprzez ocenę jakości reguł - systemy QbF	10
4.2	System QbF z doбором funkcji oceniającej	11
4.3	Skracanie reguł	11
5	Propozycja: system reprezentantów	12
5.1	Idea systemu reprezentantów	12
5.2	Problem wyboru reguł do łączenia	13
5.3	Grupowanie reguł	13
5.3.1	Przykład funkcji odległości	14
5.3.2	Algorytm podziału na grupy	15
5.4	Tworzenie podgrup reguł	17
5.4.1	Struktura logiczna reguł	17
5.4.2	Przykład odległości struktur logicznych	17
5.4.3	Podział na podgrupy	18
5.5	Łączenie reguł	19
5.6	Klasyfikacja	21
5.7	Parametry algorytmu reprezentantów	21
6	Wyniki doświadczeń	21
6.1	Dane testowe	23
6.2	System KNN	24
6.3	System klasyczny	25
6.4	Systemy QbF	27
6.5	System QbF z doбором miary	28
6.6	System QbF ze skracaniem reguł	29
6.7	System reprezentantów	30
6.8	Podsumowanie wyników doświadczeń	31
6.8.1	Średnie wyniki dla tablic decyzyjnych	31
6.8.2	Średnia skuteczność przedstawionych systemów decyzyjnych	32
6.8.3	Reprezentacja graficzna	33
7	Podsumowanie i wnioski	34

1 Wstęp

Coraz częściej zdajemy sobie sprawę, że informacje (różnego rodzaju) odgrywają w naszym życiu coraz większą rolę. Staramy się je gromadzić i analizować. Jednak im więcej zgromadzimy informacji, tym więcej mamy z nimi kłopotów. Nadchodzi zawsze taki moment, w którym okazuje się, że zgromadziliśmy zbyt wiele danych i nie jesteśmy w stanie poradzić sobie ręcznie z ich analizą. Wtedy sięgamy po systemy decyzyjne, które pozwalają na automatyczną analizę zebranych informacji.

Postawmy się w sytuacji naukowca, który bada reakcję delfinów na rozmaite dźwięki. Kilka prostych eksperymentów pokazuje, że zwierzęta te reagują na pewne dźwięki, na inne zaś – nie. Naukowiec stawia sobie pytanie dlaczego tak jest i postanawia sprawdzić od czego to zależy przeprowadzając całą serię eksperymentów. W tym celu wyznaczył 30 cech charakteryzujących każdy dźwięk, a następnie prezentował je kolejno delfinom, notując ich reakcję lub jej brak. Szybko okazało się, że reakcja badanych ssaków nie zależy od żadnej pojedynczej cechy. Oznacza to, że dopiero pewne ich zestawy (podzbiory) decydują o tym czy „spodobają” się delfinom, czy też – nie.

Założmy, że każda z cech ma tylko dwie wartości: 1 – cecha występuje i 0 – cecha nie występuje. Wszystkich cech (zwanym dalej atrybutami) jest 30. Zatem aby posiadać pełną wiedzę o reakcji delfinów na dźwięki należy przeprowadzić 2^{30} doświadczeń. Jeśli będziemy wykonywali jedno doświadczenie na sekundę, wówczas zajmie to nam 34 lata! Po wykonaniu tego prostego wyliczenia nasz naukowiec postanawia wykonać około 10 tysięcy doświadczeń z losowym przydziałem cech, co zajmie mu jeden dzień, a następnie otrzymane dane wprowadzić do systemu decyzyjnego.

Po wprowadzeniu danych i ich automatycznej obróbce, naukowiec może zadawać systemowi decyzyjnemu pytania: „Czy delfiny zareagują na następujący zestaw cech:...?”. Po zautomatyzowaniu tego procesu komputer był w stanie odpowiadać na 100 takich pytań w ciągu jednej sekundy. Każda odpowiedź klasyfikowała podany zestaw cech jako te, na które delfin zareaguje, lub przeciwnie jako te na które nie zareaguje. Na przetworzenie wszystkich możliwych kombinacji trzeba by jednak czekać 4 miesiące. Po upływie tego czasu stałoby przed nami nowe wyzwanie: ogromna liczba pytań w postaci zestawów cech i odpowiedzi przydzielonych przez maszynę. Dodatkowym utrudnieniem byłby fakt, że system decyzyjny dysponował zaledwie niewielkim podzbiorem wszystkich możliwości, zatem nie był w stanie stworzyć dokładnego modelu obejmującego całość zagadnienia. Oznacza to, że nie można uniknąć błędów, które utrudniałyby dalszą analizę otrzymanych wyników.

Naukowiec postanawia więc wyciągnąć z systemu decyzyjnego reguły, przy pomocy których system ten dokonuje klasyfikacji dźwięków. Reguły te mają postać: {Zbiór cech} \Rightarrow Decyzja. Niestety jest ich bardzo dużo i ich analiza jest bardzo trudna. Założmy jednak, że udało się zredukować liczbę reguł tak, że nadal stosunkowo dobrze opisują reakcje delfinów. Teraz można się im dokładniej przyjrzeć (jest ich bowiem stosunkowo niewiele) i wyciągnąć wnioski. Na drugi dzień z uzyskanymi w ten sposób nowymi hipotezami, naukowiec udaje się do oceanarium, aby sprawdzić je w praktyce. Wystarczy zaledwie kilka doświadczeń, aby potwierdzić lub zaprzeczyć naszym przypuszczeniom. Część hipotez może okazać się nieprawdziwa, jednak wiele z nich znajdzie potwierdzenie w praktyce. W ten oto sposób nasz naukowiec nie potrzebował 34 lat, ani nawet 4 miesięcy, lecz zaledwie paru dni na zanalizowanie postawionego zagadnienia.

Od dziesięcioleci ludzie poszukują metod aproksymacyjnego opisu pojęć (zobacz np. [5]–[9]), które określone są jedynie przez wyniki empirycznych doświadczeń, chcąc je w ten sposób lepiej poznać i zrozumieć. Poszukiwany opis powinien nie tylko dobrze odzwierciedlać rzeczywistość lecz również być możliwie najprostszy. Uproszczenie opisu, nawet

kosztem jego jakości – czyli dopuszczenia niewielkiego błędu, jest również bardzo wartościowe, gdyż może umożliwić nie tylko lepsze zrozumienie opisanego pojęcia, ale często również prowadzi do aproksymacyjnego opisu pojęcia o lepszej jakości. Znalezienie równowagi pomiędzy jakością opisu, a stopniem jego skomplikowania jest bardzo trudne. Rozwój techniki, dzięki której mamy dostęp do coraz większych ilości informacji powoduje, że coraz częściej spotykamy się z potrzebą aproksymacyjnego opisu otaczającej nas rzeczywistości.

W poniższej pracy chciałbym przedstawić problem redukcji liczby reguł decyzyjnych. Jest to istotny kierunek mający na celu usprawnienie analizy danych. Przedstawię przykłady istniejących rozwiązań tego problemu wraz z możliwościami ich rozbudowy, oraz propozycję systemu decyzyjnego, który nie tylko redukuje liczbę reguł decyzyjnych, lecz również dokonuje ich uogólnienia. Na końcu pracy przedstawię wyniki licznych doświadczeń i dokonam porównania wszystkich przedstawionych w pracy systemów decyzyjnych.

2 Wprowadzenie

2.1 Zarys problemu

Zakładamy, że dostępne są pewne dane, zgromadzone poprzez wielokrotne wykonanie pewnego doświadczenia. Dane te są przedstawione w postaci *tablicy decyzyjnej*:

–	a_1 ... a_N	d
x_1		d_1
\vdots		\vdots
x_{k+m}		d_{k+m}

Kolejne doświadczenia zostały oznaczone jako x_1, \dots, x_{k+m} i stanowią zbiór przykładów \mathbb{X} . Atrybuty a_1, \dots, a_N opisują parametry doświadczenia, zaś d_j jego wyniki (*klasę decyzyjną*). Zbiór wszystkich możliwych decyzji (klas decyzyjnych) oznaczamy literą \mathbb{D} . Na podstawie tak przygotowanych danych potrafimy wyznaczyć wszystkie możliwe *reguły decyzyjne* mające postać koniunkcji:

$$(a_{1_r} = w_{1_r}^r \wedge \dots \wedge a_{N_r} = w_{N_r}^r) \Rightarrow \text{KlasaDecyzyjna.}$$

Gdzie $1 \leq 1_r < \dots < N_r \leq N$. Liczba użytych atrybutów, oraz ich wartości (oznaczone jako: $w_{i_r}^r$) są specyficzne dla danej reguły r . Każda reguła wyznacza funkcję $r: \mathbb{X} \rightarrow \{d^r, d^r\}$ określającą przynależność obiektu $x \in \mathbb{X}$ do klasy decyzyjnej $d^r \in \mathbb{D}$, którą potrafi rozpoznawać ta reguła. Funkcja ta określona jest następująco:

$$r(x) = \begin{cases} d^r & \text{gdy warunek } (a_{1_r}(x) = w_{1_r}^r \wedge \dots \wedge a_{N_r}(x) = w_{N_r}^r) \text{ jest spełniony,} \\ d^r & \text{gdy warunek } (a_{1_r}(x) = w_{1_r}^r \wedge \dots \wedge a_{N_r}(x) = w_{N_r}^r) \text{ nie jest spełniony.} \end{cases}$$

$$a_i(x) = \text{wartość } i\text{-tego atrybutu w obiekcie } x$$

Jeśli $r(x) = d^r$ to przy użyciu tej reguły nie potrafimy nic powiedzieć o przynależności x do jakiegokolwiek klasy decyzyjnej ze zbioru \mathbb{D} .

Systemem decyzyjnym nazywamy algorytm, który korzystając z dostępnych już reguł potrafi dokonać *klasyfikacji* pewnego obiektu (wektora wartości atrybutów) x_* do klasy decyzyjnej ze zbioru \mathbb{D} . Sprawa jest prosta, gdy wszystkie reguły wskazują jedną klasę decyzyjną, to znaczy: $\exists d^* \forall_i (r_i(x_*) = d^* \vee r_i(x_*) = d^r)$, oraz: $\exists_i r_i(x_*) \neq d^r$. Często jednak

obiekt x_* będzie rozpoznawany przez reguły reprezentujące różne klasy decyzyjne. System decyzyjny ma za zadanie rozstrzygać takie konflikty.

Najprostszą strategią rozstrzygnięcia konfliktów jest głosowanie. Każda reguła, jeśli rozpoznaje obiekt x_* (czyli $r(x_*) = d^r$), oddaje głos na reprezentowaną klasę decyzyjną (d^r). Regułom możemy przypisać pewne wagi i to właśnie te wagi brać pod uwagę podczas głosowania. Na przykład jeśli nasza reguła ma wagę $\frac{1}{2}$ wówczas może oddać $\frac{1}{2}$ głosu, jeśli zaś ma wagę 2 wówczas może oddać aż dwa głosy. Nadawanie regułom wag jest stosowane, aby wyróżnić pewne reguły, które uważamy za lepsze, oraz aby wyrównać szanse klas decyzyjnych, które mają mniej reguł od pozostałych.

Chcielibyśmy, korzystając z systemu decyzyjnego, móc dokonywać klasyfikacji obiektów, które nie znajdują się w naszym zbiorze przykładów \mathbb{X} . Dzięki temu moglibyśmy przewidywać wyniki kolejnych, często kosztownych, doświadczeń bez konieczności ich wykonywania. Naturalnie musimy pogodzić się z faktem, iż nasz system decyzyjny może popełniać czasem błędy lub nie być w stanie dokonać klasyfikacji pewnych obiektów.

Jeśli nasz system decyzyjny korzysta ze wszystkich reguł, wówczas może okazać się, że klasyfikacja zajmuje bardzo dużo czasu. Wynika to z konieczności sprawdzenia spełnialności wielu koniunkcji.

Możemy zdecydować się na rezygnację z części reguł. Dzięki temu skraca się czas klasyfikacji. Jednocześnie pozbywając się najslabszych reguł upraszczamy problem rozstrzygnięcia konfliktów, dzięki czemu zyskujemy na skuteczności systemu. Niestety pozbywanie się reguł może doprowadzić do sytuacji, w której nasz system decyzyjny bardzo często nie będzie potrafił sklasyfikować nowych obiektów, a to bardzo poważna wada.

W rozdziale 4 przedstawiam stosowane obecnie metody redukcji reguł, zaś w rozdziale 5 przedstawiam propozycję systemu opartego nie na pozbywaniu się reguł, lecz na ich uogólnianiu i łączeniu.

Pierwszą rzeczą, jaką należy wykonać przy redukcji liczby reguł decyzyjnych, jest ocena ich jakości. Abyśmy mogli dokonać obiektywnej oceny podzielimy zbiór dostępnych przykładów na dwie części: x_1, \dots, x_k – z nich wygenerujemy reguły decyzyjne (r_1, \dots, r_n) i x_{k+1}, \dots, x_{k+m} – one posłużą do testowania skuteczności reguł. Tak więc naszą tablicę decyzyjną można przedstawić w następujący sposób:

–	a_1 ... a_N	d
x_1		d_1
\vdots		\vdots
x_k		d_k
x_{k+1}		d_{k+1}
\vdots		\vdots
x_{k+m}		d_{k+m}

Stosując kolejne reguły do wszystkich przykładów otrzymujemy następującą tabelę:

–	r_1 ... r_n	d
x_1		d_1
\vdots		\vdots
x_k		d_k
x_{k+1}		d_{k+1}
\vdots		\vdots
x_{k+m}		d_{k+m}
d^r	d^{r_1} ... d^{r_n}	–

Zakładamy, że powyższa tablica jest niesprzeczna, to znaczy nie ma w niej dwóch wierszy, które mają te same wartości dla a_1, \dots, a_N ale różne wartości d . Wtedy można rozważać reguły niesprzeczne na zbiorze, z którego zostały wyznaczone. W szczególności można rozważać minimalne reguły decyzyjne [2], to znaczy zawierające małą liczbę czynników koniunkcji po lewej stronie reguły gwarantującą zachowanie niesprzeczności.

Jednak reguły te zastosowane do x_{k+1}, \dots, x_{k+m} mogą popełniać błędy. Dzieje się tak dlatego, że zostały wygenerowane nie ze wszystkich możliwych przykładów (wszystkich możliwych wartościowań atrybutów) lecz z pewnego niewielkiego podzbioru. Na podstawie tego podzbioru (x_1, \dots, x_k) reguły aproksymują zachowanie się klas decyzyjnych na zbiorze wszystkich możliwych przykładów.

2.2 Systemy decyzyjne

Klasyfikacja nowych obiektów może odbywać się na wiele sposobów. Każda ze znanych metod ma swoje wady i zalety, oraz każda może okazać się lepsza od innych dla pewnych specyficznych danych. Należy pamiętać, że system decyzyjny jest jedynie pewną aproksymacją i nie istnieje system rozwiązujący wszystkie problemy, który nie popełniałby żadnych błędów.

2.2.1 System KNN

KNN, czyli k najbliższych sąsiadów, to jeden z najprostszych systemów decyzyjnych. Jego zastosowanie nie wymaga żadnych przygotowań, ani uczenia się z danych początkowych. Klasyfikacja odbywa się poprzez wybór k najbliższych sąsiadów badanego obiektu x_* . Jeżeli przyjmiemy, że k -ty, najbardziej oddalony przykład od x_* , znajduje się od niego w odległości d_{KNN}^k , wówczas wybieramy wszystkie przykłady x takie, że: $d_{KNN}(x, x_*) \leq d_{KNN}^k$. Zatem może się zdarzyć, że wybierzemy więcej niż k sąsiadów.

W najprostszej wersji KNN:

$$d_{KNN}(x, x_*) = \sum_{i=1}^N neq(a_i(x), a_i(x_*))$$

$$neq(a, b) = \begin{cases} 0 & \text{jeżeli: } a = b \\ 1 & \text{jeżeli: } a \neq b \end{cases}$$

Po wybraniu sąsiadów x_* , sprawdzamy do jakich należą klas decyzyjnych. Badany obiekt x_* jest przypisywany do „najpopularniejszej” klasy decyzyjnej.

W metodzie tej nie korzystamy z reguł decyzyjnych, lecz z przykładów. Ma to dwie ogromne zalety: nie ma potrzeby czasochłonnego wyliczania reguł oraz bez trudu możemy dodawać do naszego zbioru przykładów nowe przypadki.

Bardzo ważnym elementem tej metody jest odpowiedni dobór funkcji d_{KNN} do analizowanych danych, co może być niezwykle trudne i czasochłonne.

Metoda ta, uzyskuje często zaskakująco dużą skuteczność. Niestety wymaga wykonania wielu obliczeń, co ma duży wpływ na czas potrzebny do klasyfikacji nowego obiektu.

2.2.2 System klasyczny oparty na regułach decyzyjnych

System klasyczny korzysta ze zbioru wszystkich (niesprzecznych) reguł decyzyjnych, wygenerowanych w oparciu o wszystkie dostępne przykłady (x_1, \dots, x_{k+m}). Algorytm wyliczenia wszystkich reguł jest dosyć czasochłonny. Jest jednak wykonywany tylko jeden

raz. Sama klasyfikacja nowego obiektu jest już znacznie prostsza. Odbywa się ona poprzez głosowanie wszystkich reguł. Każda reguła może oddać głos na klasę decyzyjną, którą reprezentuje (jeśli rozpozna x_*) lub nie oddać żadnego głosu (jeśli nie rozpozna x_*). Obiekt x_* jest przydzielany do klasy, która zbierze najwięcej głosów.

Ponieważ klasy decyzyjne nie są reprezentowane przez taką samą liczbę reguł, oraz reguły te mają różną skuteczność; należy każdej regule przyporządkować pewną liczbę (zwaną wagą), która będzie brała udział w głosowaniu:

$$Waga(r_i) = \frac{Q_W(r_i)}{\sum_{\{r:d^r=d^i\}} Q_W(r)}$$

Gdzie d^r to klasa decyzyjna reprezentowana przez r , a Q_W jest funkcją oceniającą reguły. Na przykład możemy przyjąć:

$$Q_W(r) = \text{liczba prawidłowo rozpoznawanych obiektów ze zbioru treningowego}$$

Zauważmy, że suma wag w każdej klasie decyzyjnej wynosi 1. Każda klasa ma więc równe szanse w głosowaniu. Jednocześnie przyjęte wagi faworyzują reguły, które zostały wysoko ocenione (przez Q_W).

System ten bywa bardzo skuteczny. Jeżeli dla naszych danych mamy dużo reguł decyzyjnych, wówczas potrzebujemy dużo czasu na klasyfikację nowego obiektu.

3 Redukcja liczby reguł decyzyjnych

3.1 Motywacja

W punkcie 2.2.2 przedstawiłem budowę systemu opartego na wszystkich regułach decyzyjnych. Niestety często tych reguł jest bardzo dużo, co wydłuża czas klasyfikacji nowego obiektu. Istnieją zastosowania, w których trzeba błyskawicznie podejmować decyzję. Na przykład wyobraźmy sobie robota, który przez pół godziny „zastanawia” się jak wykonać kolejny krok. W takich zastosowaniach system klasyczny okazuje się zbyt powolny. Redukując liczbę reguł biorących udział w głosowaniu, redukujemy również czas konieczny na klasyfikację.

Innym ważnym powodem, dla którego chcemy mieć możliwie najmniej reguł decyzyjnych, jest czytelność zbioru reguł, oraz chęć uzyskania możliwie prostego opisu tablicy decyzyjnej. Jeśli nasza tablica decyzyjna opisuje wyniki jakiegoś eksperymentu naukowego, wówczas reguły decyzyjne mogą posłużyć do opisu tego doświadczenia, co może dostarczyć wielu cennych informacji.

3.2 Podstawowe trudności

Redukcja liczby reguł decyzyjnych może nastąpić poprzez eliminację części z nich lub poprzez ich łączenie.

Eliminacja części reguł pociąga za sobą ryzyko nie rozpoznania wielu nowych obiektów. Innym problemem jest radykalna zmiana „układu sił” w głosowaniu. System klasyczny w dużej mierze zawdzięcza swą skuteczność wielości reguł decyzyjnych.

Łączenie reguł decyzyjnych może spowodować powstanie reguł, które bardzo często będą błędnie klasyfikowały nowe obiekty. Załóżmy, że posiadamy n reguł postaci: $\beta_1 \Rightarrow d^{r_1}, \dots, \beta_n \Rightarrow d^{r_n}$ ($d_i \in \mathbb{D}$). Łącząc dwie reguły $r_k : \beta_k \Rightarrow d$ i $r_l : \beta_l \Rightarrow d$, otrzymamy jedną: $r_{k,l} : \beta_k \vee \beta_l \Rightarrow d$. Okazuje się, że nowy obiekt x_* jest rozpoznawany tylko przez

jedną z nich (tzn. spełniony jest warunek: $\beta_k \wedge \neg\beta_l$). Zatem w klasycznym głosowaniu głos oddałaby tylko jedna reguła mająca mniejszą wagę niż $r_{k,l}$. Po połączeniu reguła bierze udział w głosowaniu, gdy spełniony jest choć jeden z warunków β_k, β_l . Jeśli reguła $r_k : \beta_k \Rightarrow d$ popełniła błąd, wówczas nie ma to dużego znaczenia w systemie klasycznym, gdyż jest to jedna z wielu reguł. Natomiast dla nowego systemu opartego o połączone reguły, stanowi to poważne zagrożenie, gdyż system ten zawiera mniej reguł, a ponadto reguła $\beta_k \vee \beta_l \Rightarrow d$ ma większą wagę w głosowaniu niż każda z reguł składowych (r_k i r_l), co zwiększa prawdopodobieństwo błędnej klasyfikacji.

4 Przykłady znanych metod redukcji liczby reguł

4.1 Redukcja poprzez ocenę jakości reguł - systemy QbF

Zdecydowana większość stosowanych obecnie metod, polega na wyborze pewnego podzbioru ze zbioru wszystkich reguł decyzyjnych. W tym celu należy ocenić przydatność posiadanych reguł decyzyjnych, a następnie wybrać najlepsze. Proces ten nosi nazwę Quality-based Filtering – QbF (patrz [1], [4]).

Założmy, że posiadamy zbiór przykładów $\mathbb{X} = \{x_1, \dots, x_{k+m}\}$ wraz z przypisanymi im decyzjami (na przykład przez eksperta), w oparciu o pierwsze k przykładów (x_1, \dots, x_k) wyznaczono reguły decyzyjne: r_1, \dots, r_n . Otrzymane reguły oceniamy poprzez analizę ich zachowania na wszystkich przykładach ze zbioru \mathbb{X} . W tym celu przyjmijmy oznaczenia²:

$$N_R(r) = |\{x_i \in \mathbb{X} : r(x_i) = d^r\}|$$

$$N_d(r) = |\{x_i \in \mathbb{X} : d_i = d^r\}|$$

$$N_{RP}(r) = |\{x_i \in \mathbb{X} : r(x_i) = d^r \wedge d_i = d^r\}|$$

$$N_{RB}(r) = |\{x_i \in \mathbb{X} : r(x_i) = d^r \wedge d_i \neq d^r\}|$$

$$N_{NB}(r) = |\{x_i \in \mathbb{X} : r(x_i) = d^? \wedge d_i = d^r\}|$$

$$N_{NP}(r) = |\{x_i \in \mathbb{X} : r(x_i) = d^? \wedge d_i \neq d^r\}|$$

$$accuracy(r) = \frac{N_{RP}(r)}{N_R(r)}$$

$$coverage(r) = \frac{N_{RP}(r)}{N_d(r)}$$

Zauważmy następujące zależności:

$$N_R(r) = N_{RP}(r) + N_{RB}(r)$$

$$N_d(r) = N_{RP}(r) + N_{NB}(r)$$

$$N_{RP}(r) + N_{RB}(r) + N_{NB}(r) + N_{NP}(r) = k$$

Przedstawione oznaczenia są niezbędne do zdefiniowania przykładowych funkcji opisujących jakość reguł decyzyjnych: (patrz [4])

² $|A|$ oznacza moc zbioru A

$$\begin{aligned}
\text{Michalski} : & Q_1(\mu, r) = \mu * \text{accuracy}(r) + (1 - \mu) * \text{coverage}(r) \\
\text{Torgo} : & Q_2(r) = Q_1\left(\frac{1}{2} + \frac{1}{4}\text{accuracy}(r), r\right) \\
\text{Brazdil} : & Q_3(r) = \text{accuracy}(r) * e^{\text{coverage}(r)-1} \\
\text{Pearson} : & Q_4(r) = \frac{N_{RP}(r)N_{NP}(r) - N_{RB}(r)N_{NB}(r)}{N_R(r)N_d(r)(k - N_R(r))(k - N_d(r))} \\
\text{G2} : & Q_5(r) = 2 \left(N_{RP}(r) \ln \left(\frac{kN_{RP}(r)}{N_R(r)N_d(r)} \right) + N_{RB}(r) \ln \left(\frac{kN_{RB}(r)}{N_R(r)(k - N_d(r))} \right) \right) \\
\text{J} : & Q_6(r) = Q_5(r)/2k \\
\text{Cohen} : & Q_7(r) = \frac{k(N_{RP}(r) + N_{NP}(r)) - N_R(r)N_d(r)}{k^2 - N_R(r)N_d(r) - (k - N_R(r))(k - N_d(r))} = \frac{k(N_{RP}(r) + N_{NP}(r)) - N_R(r)N_d(r)}{k(N_R(r) + N_d(r)) - 2N_R(r)N_d(r)} \\
\text{Coleman} : & Q_8(r) = \frac{kN_{RP}(r) - N_R(r)N_d(r)}{N_R(r)(k - N_d(r))} \\
\text{C1} : & Q_9(r) = \frac{1}{3}Q_8(r) (2 + Q_7(r)) \\
\text{C2} : & Q_{10}(r) = \frac{1}{2}Q_8(r) (1 + \text{coverage}(r)) \\
\text{Kononenko} : & Q_{11}(r) = -\log_2 \frac{N_d(r)}{k} + \log_2 \text{accuracy}(r) \\
\text{Wsparcie} : & Q_{12}(r) = N_{RP}(r) \\
1 : & Q_{13}(r) = 1
\end{aligned}$$

Wybór właściwej funkcji zależy od naszych potrzeb i rodzaju analizowanych danych. Przy jej pomocy oceniamy wszystkie reguły decyzyjne ze zbioru $\{r_1, \dots, r_n\}$, a następnie wybieramy tylko te najlepsze. Możemy na przykład założyć, że interesuje nas tylko 20 najlepszych reguł i dokładnie tyle wybrać. Można też wybierać reguły tak, aby pokryć cały zbiór \mathbb{X} ; dostając w ten sposób, zależnie od danych, podzbiór reguł o mocy większej lub mniejszej od przykładowych 20 reguł.

Może się zdarzyć, że wybrane reguły nie pokryją całego zbioru przykładów \mathbb{X} (dotyczy to przypadku, w którym wybieramy ustaloną liczbę reguł), to znaczy nie będą w stanie sklasyfikować wszystkich x_i . Można jednak tego uniknąć poprzez powiększenie wybranego podzbioru o dodatkowe reguły.

Klasyfikacja nowego obiektu odbywa się poprzez głosowanie wybranych reguł. Jako wagi można przyjąć wartości: $Q_*(r_i)$ unormowane tak, aby każda klasa decyzyjna miała równe szanse w głosowaniu.

System QbF można rozbudować poprzez dodanie możliwości wyboru funkcji oceniającej, jak również poprzez skracanie reguł początkowych, co przedstawiłem w punktach 4.2 i 4.3.

4.2 System QbF z doбором funkcji oceniającej

Przez wiele lat próbowano zbudować najskuteczniejszą funkcję oceniającą, która dawałaby najlepsze wyniki na każdej możliwej tablicy decyzyjnej. W końcu zdano sobie sprawę, że funkcję oceniającą jakość reguł należy dobierać w zależności od charakteru analizowanych danych.

System QbF z doбором funkcji oceniającej polega na przetestowaniu skuteczności systemów QbF opartych na jednej funkcji i wyborze najlepszej z nich.

4.3 Skracanie reguł

Zbiór wszystkich reguł decyzyjnych zawiera często reguły o bardzo rozbudowanej koniunkcji (mających dużo atrybutów znaczących), które rozpoznają bardzo niewiele obiektów. Pozbycie się zbyt rozbudowanych reguł może spowodować, że stracimy zbyt wiele istotnych informacji. Można jednak operować na skróconych regułach [2], czyli takich które posiadają krótszy opis (na przykład zamiast: $a_1 = 1 \wedge a_3 = 2 \wedge a_6 = 7 \Rightarrow d$ można użyć reguły: $a_1 = 1 \wedge a_3 = 2 \Rightarrow d$) kosztem dopuszczenia błędów (np: 30%). Należy się

spodziewać, że krótsze reguły będzie można łatwiej łączyć tworząc w ten sposób bardziej wydajny system reprezentantów (zobacz rozdział 5).

5 Propozycja: system reprezentantów

Zaproponowany przeze mnie *system reprezentantów* ma na celu zmniejszenie liczby reguł decyzyjnych poprzez ich łączenie. W ten sposób ograniczamy liczbę reguł decyzyjnych, które muszą być sprawdzone przy klasyfikacji każdego nowego przypadku. Łączenie reguł powoduje jednocześnie ich uogólnianie, co może mieć praktyczne zastosowanie w analizie danych. Wadą tego systemu jest konieczność przeprowadzenia wielu skomplikowanych obliczeń. Jest to jednak operacja jednorazowa i uzyskany w ten sposób system decyzyjny może być używany do klasyfikacji wielu obiektów w bardzo krótkim czasie.

5.1 Idea systemu reprezentantów

Poniżej przedstawiam konstrukcję systemu tworzącego zbiór nowych reguł zwanych dalej *reprezentantami*.

Schemat budowy systemu reprezentantów:

1. Podział zbioru \mathbb{X} na dwa podzbiory: $\{x_1, \dots, x_k\}$, oraz $\{x_{k+1}, \dots, x_{k+m}\}$
Podział zbioru dostępnych przykładów \mathbb{X} ma na celu wyodrębnienie zbioru obiektów, z których będą wyliczane reguły decyzyjne i zbioru służącego do lepszej oceny zachowania się reguł na nowych danych.
2. Wylczenie wszystkich niesprzecznych reguł ze zbioru $\{x_1, \dots, x_k\}$
Wylczone reguły mają taką samą postać jak w systemie klasycznym.
3. Skracanie reguł poprzez eliminację elementów koniunkcji
Skracanie reguł ma na celu eliminację zbyt szczegółowych i tym samym trudnych do uogólnienia reguł.
4. Podział reguł na klasy decyzyjne
Następne punkty należy wykonać dla każdej klasy decyzyjnej osobno.
5. Podział każdej klasy decyzyjnej na grupy reguł, tak aby w każdej grupie znalazły się reguły o podobnej skuteczności na danych x_1, \dots, x_{k+m}
Grupowanie reguł ma zapobiegać późniejszemu łączeniu mocnych reguł ze słabymi.
6. Podział każdej grupy na podgrupy reguł, tak aby w każdej podgrupie znalazły się reguły o podobnej strukturze logicznej
Tworzenie podgrup ułatwia łączenie reguł i zapobiega powstawaniu zbyt dużych błędów w późniejszej klasyfikacji.
7. Budowa reprezentantów poprzez łączenie reguł w obrębie podgrup
Z każdej podgrupy tworzony jest jeden reprezentant (nowa reguła) poprzez połączenie występujących w niej reguł.
8. Ocena powstałych reprezentantów i wyznaczenie wag do głosowania
Należy ocenić zbiór nowo powstałych reguł, aby można było dobrać wagi do głosowania.

9. Klasyfikacja nowego obiektu odbywa się poprzez głosowanie wszystkich reprezentantów z uwzględnieniem przydzielonych im wag.

5.2 Problem wyboru reguł do łączenia

Pierwszym pomysłem jaki się nasuwa jest połączenie wszystkich reguł w ramach danej klasy decyzyjnej. Jeśli nasz zbiór reguł przedstawimy następująco: $\beta_1 \Rightarrow d, \dots, \beta_n \Rightarrow d$, wówczas nasza „super-reguła” miałaby postać: $\beta_1 \vee \dots \vee \beta_n \Rightarrow d$. Postępując w ten sposób z każdą klasą decyzyjną otrzymalibyśmy zaledwie parę reguł decyzyjnych (dokładnie tyle ile jest możliwych decyzji). Aby każda klasa decyzyjna miała równe szanse w głosowaniu, nasze „super-reguły” musiałyby otrzymać taką samą wagę, np. 1. Pozornie wszystko układa się doskonale – zbudowaliśmy system decyzyjny oparty na niewielkiej liczbie reguł. Teraz chcielibyśmy dokonać klasyfikacji nowego przypadku x_* . Ponieważ w systemie klasycznym niezwykle rzadko zdarza się aby wszystkie reguły opowiadały się za jedną klasą decyzyjną (tzn. $\exists!_{d \in \mathbb{D}} \forall_i r_i(x_*) \in \{d, d^i\}$ oraz $\exists_i r_i(x_*) \neq d^i$) to należy się spodziewać, że zazwyczaj kilka „super-reguł” rozpozna x_* jako element swojej klasy. Tym samym nie będziemy potrafili na drodze takiego głosowania przydzielić nowego obiektu do żadnej z klas decyzyjnych. Opisany problem może się zdarzyć również w systemie klasycznym, jednak duża liczba reguł biorąca udział w głosowaniu powoduje, że jest to niezwykle mało prawdopodobne.

Grupowanie i łączenie reguł decyzyjnych może spowodować, że otrzymane reguły będą bardzo słabe (będą popełniały wiele błędów³) i w efekcie będą całkowicie nieprzydatne. Należy pamiętać, że połączenie dwóch silnych reguł może dać słabą regułę i na odwrót – połączenie dwóch słabych reguł może dać silną regułę. Jak to możliwe? W pierwszym przypadku (dwie silne reguły) może okazać się, że każda z reguł popełnia niewiele błędów⁴, jednak nie pokrywają się one wskutek czego po połączeniu mamy regułę, która popełnia dwukrotnie więcej błędów. W drugim przypadku mamy dwie reguły popełniające wiele błędów⁵ ale po połączeniu reguły te doskonale się uzupełniają tworząc jedną silną regułę. Zatem najrozsądniej byłoby łączyć te reguły, które popełniają podobne błędy lub uzupełniają się nawzajem.

W proponowanym systemie decyzyjnym podział na grupy ma za zadanie odseparować mocne reguły od słabych (popełniających wiele błędów). Dalszy podział reguł na podgrupy ma zapewnić możliwie duże podobieństwo struktur logicznych łączonych reguł. W ten sposób mam nadzieję ustrzec się większości opisanych problemów.

5.3 Grupowanie reguł

W punkcie 5.3.2 przedstawiam algorytm podziału reguł na grupy. W algorytmie tym wyznaczam skuteczność każdej reguły, a następnie dzielę otrzymane wartości na podzbiory, co jednoznacznie zadaje podział reguł na grupy. W ten sposób omijam konieczność liczenia odległości pomiędzy każdymi dwoma regułami.

Aby jednak precyzyjniej wyznaczyć grupy reguł, można rozbudować przedstawiony algorytm do pełnego algorytmu centroidów. Niezbędne będzie wówczas zdefiniowanie funkcji odległości pomiędzy dwoma regułami uwzględniającej zachowanie się reguł na nowych

³są dwa rodzaje błędów: I – błędne zakwalifikowanie przykładu do danej klasy decyzyjnej i II – nie zakwalifikowanie przykładu pomimo jego przynależności do rozpatrywanej klasy decyzyjnej

⁴głównie błędów typu I

⁵głównie błędów typu II

danych. Przykładową konstrukcję takiej funkcji i jej własności przedstawiam w punkcie 5.3.1.

5.3.1 Przykład funkcji odległości

Definicja 1 *Odległością pomiędzy dwoma decyzjami $x, y \in \mathbb{D} \cup \{d^2\}$ nazwiemy funkcję:*

$$\varrho_q(x, y) = \begin{cases} 0 & \text{jeżeli } x = y \\ q & \text{jeżeli } x \neq y \wedge (x = d^2 \vee y = d^2) \\ 1 & \text{w pozostałych przypadkach} \end{cases}$$

gdzie $q \in \langle \frac{1}{2}, 1 \rangle$.

Uwaga 1 *Funkcja $\varrho_q(x, y)$ posiada następujące własności:*

- (1) $\varrho_q(x, y) \geq 0$
- (2) $\varrho_q(x, y) = \varrho_q(y, x)$
- (3) $\varrho_q(x, y) = 0 \iff x = y$
- (4) $\varrho_q(x, y) + \varrho_q(y, z) \geq \varrho_q(x, z)$.

Dowód

Punkty (1), (2) i (3) wynikają wprost z definicji funkcji odległości. Poniżej przedstawiam prosty dowód własności (4) (przez wyczerpywanie).

- Jeśli $\varrho_q(x, z) = 0$, to warunek (4) zachodzi na mocy własności (1).
- Jeśli $\varrho_q(x, z) = q$, to warunek (4) również zachodzi; ponieważ gdyby $\varrho_q(x, y) = 0$ i $\varrho_q(y, z) = 0$, to $x = y$ i $y = z$ (z własności (3)), zatem $x = z$ co oznacza, że $\varrho_q(x, z) = 0$ (z własności (3)) a to jest sprzeczne z założeniem.
- Jeśli $\varrho_q(x, z) = 1$ i $q \neq 1$, to $x \neq d^2$ i $z \neq d^2$ (z definicji ϱ_q). Jeśli $y = d^2$ to własność (4) jest spełniona, ponieważ $q + q \geq 1$ ($\varrho_q(x, d^2) = \varrho_q(d^2, z) = q$). Jeśli $y \neq d^2$ wówczas własność (4) również jest spełniona, gdyż $\varrho_q(x, y), \varrho_q(y, z) \in \{0, 1\}$, gdyby więc $\varrho_q(x, y) = 0$ i $\varrho_q(y, z) = 0$, to $x = y$ i $y = z$ (z własności (3)), zatem $x = z$ co oznacza, że $\varrho_q(x, z) = 0$ (z własności (3)) a to jest sprzeczne z założeniem.
- Jeśli $\varrho_q(x, z) = 1$ i $q = 1$, to własność (4) jest spełniona, ponieważ gdyby $\varrho_q(x, y) = 0$ i $\varrho_q(y, z) = 0$, to $x = y$ i $y = z$ (z własności (3)), zatem $x = z$ co oznacza, że $\varrho_q(x, z) = 0$ (z własności (3)) a to jest sprzeczne z założeniem.

■

Teraz możemy już zdefiniować odległość pomiędzy dwoma regułami.

Definicja 2 *Przyjmijmy następujące oznaczenia:*

- $\bar{r}_i = (r_i(x_{k+1}), \dots, r_i(x_{k+m}))$
- $\bar{d} = (d_{k+1}, \dots, d_{k+m})$
- $\bar{\varrho}_q(\bar{r}_{i_1}, \bar{r}_{i_2}) = \sum_{j=1}^m \varrho_q(r_{i_1}(x_{k+j}), r_{i_2}(x_{k+j}))$
- $\bar{\varrho}_q(\bar{r}_i, \bar{d}) = \sum_{j=1}^m \varrho_q(r_i(x_{k+j}), d_{k+j})$

Z uwagi 1 natychmiast wynika następujący wniosek:

Wniosek 1 *Prawdziwe są następujące nierówności:*

$$(1) \quad \underline{Q}_q(\bar{r}_1, \bar{d}) + \underline{Q}_q(\bar{r}_2, \bar{d}) \geq \underline{Q}_q(\bar{r}_1, \bar{r}_2)$$

$$(2) \quad \underline{Q}_q(\bar{r}_1, \bar{r}_2) \geq |\underline{Q}_q(\bar{r}_1, \bar{d}) - \underline{Q}_q(\bar{r}_2, \bar{d})|$$

Dowód

Dowód sprowadza się do kilkukrotnego zastosowania nierówności trójkąta. ■

Powyższa funkcja może posłużyć do oceny jakości reguł:

$$Q_0(r) = \underline{Q}_q(\bar{r}, \bar{d})$$

Funkcja Q_0 może być z powodzeniem wykorzystywana w systemach QbF.

5.3.2 Algorytm podziału na grupy

Zbiór wygenerowanych reguł dzielimy na klasy decyzyjne, a następnie na K grup⁶ przy pomocy jednowymiarowego algorytmu centroidów. Podział reguł na grupy ma za zadanie oddzielić reguły popełniające dużo błędów od tych, które popełniają ich niewiele. Do wyznaczenia ilości popełnianych błędów użyjemy funkcji Q_R . Ponieważ ilość popełnianych błędów nie jest jedynym wyznacznikiem jakości reguł, użyjemy dodatkowej funkcji oceniającej Q_W , dzięki której będziemy mogli dokonać dokładniejszego podziału na grupy. Funkcje Q_R i Q_W są parametrami algorytmu podziału na grupy. Przykładowo można przyjąć $Q_R(r) = Q_0(r)$ (funkcja Q_0 została zdefiniowana w punkcie 5.3.1), oraz $Q_W(r) = Q_{12}(r)$ (funkcja Q_{12} została zdefiniowana w punkcie 4.1). Wybór takich samych⁷ funkcji Q_R i Q_W , prowadził w przeprowadzonych eksperymentach do zwiększenia liczby błędów.

Algorytm podziału na grupy:

1. Każdej regule r_i przyporządkowujemy: $o_i = Q_R(r_i)$ i $c_i = Q_W(r_i)$, dobieramy także wartości v_0 i v_K w taki sposób aby $\forall_i v_0 < o_i < v_K$
Każda reguła jest reprezentowana w przedziale (v_0, v_K) przez odpowiadającą jej wartość o_i .
2. Wybieramy losowo punkty w_0, \dots, w_{K-1} , $v_0 < w_i < v_K$
3. Obliczamy v_1, \dots, v_{K-1} ze wzoru $v_i = \frac{w_{i-1} + w_i}{2}$
4. Obliczamy środki ciężkości powstałych odcinków:

$$w_i^* = \frac{\sum_{\{j: o_j \in \langle v_i, v_{i+1} \rangle\}} c_j o_j}{\sum_{\{j: o_j \in \langle v_i, v_{i+1} \rangle\}} c_j}$$

Dla $i = 0, \dots, K - 1$ w_i^* jest nowym środkiem ciężkości odcinka $\langle v_i, v_{i+1} \rangle$.

5. Obliczamy błąd dopasowania odcinków:

$$\text{ERR}(w_0^*, \dots, w_{K-1}^*) = \sum_{i=1}^K \sum_{\{j: o_j \in \langle v_i, v_{i+1} \rangle\}} c_j (o_j - w_i^*)^2$$

⁶na grupy dzielimy zbiory reguł reprezentujących tę samą klasę decyzyjną

⁷to znaczy: $\forall_r Q_R(r) = Q_W(r)$

6. Jeśli $ERR(w_0^*, \dots, w_{K-1}^*) < ERR(w_0, \dots, w_{K-1})$, to: $w_i := w_i^*$ i wracamy do punktu 3.

Otrzymane punkty $v_0 < v_1 < v_2 < \dots < v_K$ zadają podział na K przedziałów. Reguły, których oceny o_i znalazły się w jednym przedziale, tworzą grupę reguł. Należy jeszcze odpowiednio dobrać parametr K . Pomoże nam w tym następujący algorytm:

Algorytm doboru liczby grup:

1. Niech K będzie liczbą grup, na początku: $K :=$ liczba reguł do podziału na grupy
2. Obieramy c_i : $c_i = Q_W(r_i)$
3. Wybieramy początkową wartość ε , na przykład: $\varepsilon = \frac{1}{3} \max_{i,j} \{|Q_R(r_i) - Q_R(r_j)|\}$
 ε określa maksymalną odległość pomiędzy regułami, które będziemy uznawali za „sąsiadujące” ze sobą. Współczynnik $\frac{1}{3}$ został dobrany eksperymentalnie.
4. Dla reguł r_1, \dots, r_K obliczamy C_i :

$$C_i := \sum_{\{j: |Q_R(r_i) - Q_R(r_j)| < \varepsilon\}} \frac{c_j}{d_C(r_i, r_j)}$$

gdzie

$$d_C(r_i, r_j) = \begin{cases} |Q_R(r_i) - Q_R(r_j)| & \text{jeżeli } Q_R(r_i) \neq Q_R(r_j) \\ 1 & \text{jeżeli } Q_R(r_i) = Q_R(r_j) \end{cases}$$

Wartość C_i jest tym większa im więcej reguł r_j z wysokimi ocenami c_j znajduje się blisko (w sensie odległości d_C) reguły r_i .

5. Przepisujemy wartości C_i na c_i : $c_i := C_i$
6. Dobieramy δ , na przykład: $\delta = \frac{\sum_{i=1}^K c_i}{1.2K}$
 δ określa minimalną ocenę c_i , dla której uznamy, że reguła r_i ma wystarczająco dużo silnych sąsiadów. Współczynnik 1.2 został dobrany eksperymentalnie.
7. Reguły (r_1, \dots, r_K) są sortowane tak aby na początku znalazły się te, które nie spełniają warunku $c_i < \delta$, nowe $K := K - |\{r_i \in \{r_1, \dots, r_K\} : c_i < \delta\}|$
Reguły, dla których $c_i < \delta$ zostają odrzucone, a $K :=$ liczba reguł, które pozostały.
8. Jeśli K zostało zmienione w punkcie 7, oraz $K > 1$, wówczas zmniejszamy ε (na przykład: $\varepsilon := 0.8 \cdot \varepsilon$) i powracamy do punktu 4.
Współczynnik 0.8 został dobrany eksperymentalnie. Algorytm wykonywany jest tak długo, aż w punkcie 7-mym nie zostanie odrzucona żadna reguła lub K przyjmie wartość ≤ 1 – wówczas $K := 1$. Ponieważ K przyjmuje tylko wartości całkowite i w punktach 4–7 jego wartość nie zwiększa się, mamy pewność, że algorytm zakończy się w skończonej liczbie kroków.

Otrzymane K określa liczbę grup. Poza doбором liczby grup uzyskujemy początkowe wartości środków ciężkości (zamiast losowych w 2-gim punkcie algorytmu podziału na grupy):

$$w_i = Q_R(r_{i+1}) \quad \text{dla: } i = 0, \dots, K - 1$$

5.4 Tworzenie podgrup reguł

Podział grup reguł na podgrupy, ma za zadanie odseparować od siebie reguły o różnych strukturach logicznych, których późniejsze łączenie byłoby trudne, a powstałe w ten sposób reguły mało wartościowe.

5.4.1 Struktura logiczna reguł

Nasze reguły mają postać koniunkcji:

$$(a_{1r} = w_{1r}^r \wedge \dots \wedge a_{Nr} = w_{Nr}^r) \Rightarrow \text{KlasaDecyzyjna.}$$

Rozpatrzmy na prostym przykładzie problem porównywania struktur logicznych. Został już wykonany podział na grupy reguł, a naszym zadaniem jest przetworzenie jednej z otrzymanych grup. Zakładamy, że tablica z danymi zawiera $N = 9$ atrybutów opisujących każdy przykład, oraz że mamy grupę pięciu reguł decyzyjnych:

$$\begin{aligned} r_1: & (a_1 = 1 \wedge a_2 = 3 \wedge a_5 = 1 \wedge a_8 = 2) \Rightarrow \text{Decyzja1} \\ r_2: & (a_1 = 1 \wedge a_2 = 3 \wedge a_4 = 1 \wedge a_7 = 2 \wedge a_9 = 1) \Rightarrow \text{Decyzja1} \\ r_3: & (a_1 = 2 \wedge a_2 = 3 \wedge a_5 = 1 \wedge a_8 = 2) \Rightarrow \text{Decyzja1} \\ r_4: & (a_2 = 2 \wedge a_4 = 1) \Rightarrow \text{Decyzja1} \\ r_5: & (a_3 = 2 \wedge a_4 = 1 \wedge a_9 = 2) \Rightarrow \text{Decyzja1} \end{aligned}$$

Chcielibyśmy wyłonić podgrupy składające się z takich reguł, które łatwo można by łączyć. W tym celu musimy porównać ich struktury logiczne. Aby ułatwić to zadanie, przedstawmy reguły w postaci ciągów $(r^A(i))_{i=1}^N$, zawierających kolejne wartości atrybutów wymagane przez regułę lub znak „ \star ” w przypadku, gdy dany atrybut nie ma znaczenia dla rozpatrywanej reguły decyzyjnej:

$$r^A(i) = \begin{cases} w_i^r & \text{jeżeli } a_i \text{ jest atrybutem znaczącym} \\ \star & \text{jeżeli reguła nie zawiera: } a_i = w_i^r \end{cases}$$

W naszym przykładzie reguły przyjmą następującą postać:

$$\begin{aligned} r_1: & 1 \quad 3 \quad \star \quad \star \quad 1 \quad \star \quad \star \quad 2 \quad \star \Rightarrow \text{Decyzja1} \\ r_2: & 1 \quad 3 \quad \star \quad 1 \quad \star \quad \star \quad 2 \quad \star \quad 1 \Rightarrow \text{Decyzja1} \\ r_3: & 2 \quad 3 \quad \star \quad \star \quad 1 \quad \star \quad \star \quad 2 \quad \star \Rightarrow \text{Decyzja1} \\ r_4: & \star \quad 2 \quad \star \quad 1 \quad \star \quad \star \quad \star \quad \star \quad \star \Rightarrow \text{Decyzja1} \\ r_5: & \star \quad \star \quad 2 \quad 1 \quad \star \quad \star \quad \star \quad \star \quad 2 \Rightarrow \text{Decyzja1} \end{aligned}$$

5.4.2 Przykład odległości struktur logicznych

Definicja 3 *Odległością pomiędzy dwoma regułami, uwzględniającą ich strukturę logiczną nazwiemy funkcję:*

$$d_L(r_1, r_2) = |s_\star(r_1) - s_\star(r_2)| + \sum_{i=1}^N d_{L0}(r_1^A(i), r_2^A(i))$$

gdzie:

$$\begin{aligned} s_\star(r) &= |\{i : r^A(i) = \star\}| \\ d_{L0}(a, b) &= \begin{cases} 0 & \text{jeżeli: } a = b \\ 1 & \text{jeżeli: } a \neq b \wedge (a \neq \star \wedge b \neq \star) \\ 2 & \text{jeżeli: } a \neq b \wedge (a = \star \vee b = \star) \end{cases} \end{aligned}$$

Zgodnie z podaną definicją bliskie są reguły, które posiadają taką samą liczbę atrybutów znaczących, najlepiej gdyby były to te same atrybuty. Różnice wartości na atrybutach znaczących mają mniejsze znaczenie, gdyż mają mniejszy wpływ na łatwość łączenia reguł, niż wcześniej wspomniane cechy.

Przedstawiony powyżej przykład jest jedną z wielu możliwych funkcji, które mogą być użyte podczas grupowania i łączenia reguł. Funkcję odległości pomiędzy regułami, uwzględniającą ich strukturę logiczną, można dobierać indywidualnie do analizowanych danych.

5.4.3 Podział na podgrupy

Do podziału grup reguł na K podgrup należy użyć standardowego algorytmu centroidów. Parametrami poniższego algorytmu są funkcje Q_W i d . Funkcja Q_W ocenia jakość reguł decyzyjnych, a funkcja d wyznacza odległość pomiędzy dwoma regułami z uwzględnieniem ich struktury logicznej.

Algorytm podziału na podgrupy:

1. Każdej regule r_i przyporządkowujemy wagę $Q_W(r_i)$.
2. Wybieramy losowo punkty $w_0, \dots, w_{K-1} \in \{\mathbb{N} \cup \{\star\}\}^N$, reprezentujące reguły z dzielonej grupy.
3. Każdą regułę przydzielamy do najbliższego środka ciężkości w_i , używając do tego celu funkcji odległości d . W ten sposób zadajemy podział na K zbiorów
4. Wybranie nowych środków ciężkości w_i^* spośród reguł przypisanych w poprzednim punkcie do w_i , tak aby zminimalizować $\sum_{r \in \text{Otoczenie}(w_i^*)} Q_W(r) \cdot d(r, w_i^*)$, gdzie $\text{Otoczenie}(w_i^*) = \{\text{reguły przydzielone w punkcie 3 do } w_i\}$
5. Obliczamy błąd dopasowania:

$$\text{ERR}(w_0^*, \dots, w_{n-1}^*) = \sum_i \sum_{r \in \text{Otoczenie}(w_i^*)} Q_W(r) \cdot d(r, w_i^*)$$

6. Jeśli $\text{ERR}(w_0^*, \dots, w_{K-1}^*) < \text{ERR}(w_0, \dots, w_{K-1})$, to zamieniamy wagi: $w_i := w_i^*$ i wracamy do punktu 3.

Przyporządkowanie każdej reguły do najbliższego środka ciężkości w_i zadaje podział na K podgrup. Przykładowe funkcje będące parametrami tego algorytmu to:

$$Q_W(r) = Q_{12}(r)$$

$$d(r_1, r_2) = dL(r_1, r_2) + \overline{d_q}(\overline{r_1}, \overline{r_2}) + 1$$

Podgrupy są budowane za pomocą algorytmu centroidów. Istotnym elementem tego algorytmu jest dobór liczby podgrup, oraz początkowych środków ciężkości. Poniżej przedstawiam algorytm rozwiązujący oba te problemy.

Algorytm doboru liczby podgrup:

1. Niech K będzie liczbą podgrup, na początku: $K = \text{liczba reguł do podziału na podgrupy}$

2. Obieramy c_i : $c_i = Q_W(r_i)$
3. Wybieramy początkową wartość ε , na przykład: $\varepsilon = \frac{1}{3} \max_{i,j} \{d(r_i, r_j)\}$
 ε określa maksymalną odległość pomiędzy regułami, które będziemy uznawali za „sąsiadujące” ze sobą. Współczynnik $\frac{1}{3}$ został dobrany eksperymentalnie.
4. Dla reguł r_1, \dots, r_K obliczamy C_i :

$$C_i := \sum_{\{j: d(r_i, r_j) < \varepsilon\}} \frac{c_j}{d_C(r_i, r_j)}$$

gdzie

$$d_C(r_i, r_j) = \begin{cases} d(r_i, r_j) & \text{jeżeli } d(r_i, r_j) \neq 0 \\ 1 & \text{jeżeli } d(r_i, r_j) = 0 \end{cases}$$

Wartość C_i jest tym większa im więcej reguł r_j z wysokimi ocenami c_j znajduje się blisko (w sensie odległości d_C) reguły r_i .

5. Przepisujemy wartości C_i na c_i : $c_i := C_i$
6. Dobieramy δ , na przykład: $\delta = \frac{\sum_{i=1}^K c_i}{1.2K}$
 δ określa minimalną ocenę c_i , dla której uznamy, że reguła r_i ma wystarczająco dużo silnych sąsiadów. Współczynnik 1.2 został dobrany eksperymentalnie.
7. Reguły (r_1, \dots, r_K) są sortowane tak aby na początku znalazły się te, które nie spełniają warunku $c_i < \delta$, nowe $K := K - |\{r_i \in \{r_1, \dots, r_K\} : c_i < \delta\}|$
Reguły, dla których $c_i < \delta$ zostają odrzucone, a $K :=$ liczba reguł, które pozostały.
8. Jeśli K zostało zmienione w punkcie 7, oraz $K > 1$, wówczas zmniejszamy ε (na przykład: $\varepsilon := 0.8 \cdot \varepsilon$) i powracamy do punktu 4.
Współczynnik 0.8 został dobrany eksperymentalnie. Algorytm wykonywany jest tak długo, aż w punkcie 7-mym nie zostanie odrzucona żadna reguła lub K przyjmie wartość ≤ 1 – wówczas $K := 1$. Ponieważ K przyjmuje tylko wartości całkowite i w punktach 4–7 jego wartość nie zwiększa się, mamy pewność, że algorytm zakończy się w skończonej liczbie kroków.

Otrzymane K określa liczbę podgrup, zaś reguły: r_1, \dots, r_K są początkowymi środkami ciężkości dla algorytmu centroidów, które należy obrać zamiast losowych w punkcie 2-gim algorytmu podziału na podgrupy:

$$w_i = r_{i+1} \quad \text{dla: } i = 0, \dots, K - 1$$

5.5 Łączenie reguł

Z każdej podgrupy poprzez łączenie reguł otrzymamy dokładnie jednego *representanta*. Budowa klasycznych reguł decyzyjnych dopuszcza maksymalnie jedną ustaloną wartość na każdym testowanym atrybucie:

$$r^A(i) = \begin{cases} w_i^r \in \mathbb{N} & \text{jeżeli } a_i \text{ jest atrybutem znaczącym} \\ \star & \text{jeżeli reguła nie zawiera: } a_i = w_i^r \end{cases}$$

Budowa reprezentantów dopuszcza wiele wartości dla każdego z atrybutów:

$$R^A(i) \subset \mathbb{N} \cup \{\star\}$$

Łączenie reguł odbywa się poprzez rozbudowę dopuszczalnego zbioru wartości dla każdego z atrybutów:

$$\forall_i R^A(i) = r_1^A(i) \cup r_2^A(i) \cup \dots \cup r_n^A(i)$$

Gdzie r_1, \dots, r_n są regułami, tworzącymi podgrupę. Dodatkowo ustalana jest maksymalna wartość $s_*(r)$ dla łączonych reguł. Jest ona zapamiętywana jako maksymalna dopuszczalna liczba wolnych ($r^A(i) = \star$) atrybutów:

$$W_{max}^R = \max_{i=1, \dots, n} \{s_*(r_i)\}$$

Podobnie jak klasyczne reguły, każdy reprezentant wyznacza funkcję $R: \mathbb{X} \rightarrow \{d^R, d^?$ określającą przynależność obiektu $x \in \mathbb{X}$ do klasy decyzyjnej $d^R \in \mathbb{D}$. Funkcja ta określona jest przez następujący algorytm:

Algorytm klasyfikacji przy pomocy reprezentanta:

1. Niech: $W_A = W_{max}^R$
2. Niech: $i = 1$
3. Jeśli $a_i(x) \in R^A(i)$ to idź do punktu 5
4. Jeśli $\star \in R^A(i)$ to $W_A := W_A - 1$,
w przeciwnym przypadku $R(x) := d^?$ i kończymy algorytm
5. Jeśli $i < N$ to $i := i + 1$ i wracamy do punktu 3
6. $R(x) := \begin{cases} d^R & \text{jeżeli } W_A \geq 0 \\ d^? & \text{jeżeli } W_A < 0 \end{cases}$

Pominięcie ograniczenia liczby wolnych atrybutów spowodowałoby zbyt duże uogólnienie pociągające za sobą liczne błędy w klasyfikacji.

Aby zilustrować budowę reprezentantów, oraz zasadę ich działania, rozważmy następujący przykład:

Jeżeli podgrupa zawiera następujące reguły:

$$r_1: 1 \ 3 \ \star \ 1 \ \star \ \star \ 2 \Rightarrow \text{Decyzja1}$$

$$r_2: 2 \ 3 \ \star \ \star \ 1 \ \star \ 2 \Rightarrow \text{Decyzja1}$$

$$r_3: 5 \ 3 \ \star \ 1 \ 1 \ \star \ 4 \Rightarrow \text{Decyzja1}$$

wówczas reprezentant tej podgrupy będzie miał postać:

$$R: \{1,2,5\} \ 3 \ \star \ \{1,\star\} \ \{\star,1\} \ \star \ \{2,4\} \Rightarrow \text{Decyzja1} \quad \text{wolne atrybuty: } W_{max}^R = 3$$

Następujące przykłady zostaną sklasyfikowane, przez powyższego reprezentanta, jako obiekty należące do klasy „Decyzja1”:

$$x_1: 1 \ 3 \ 3 \ 1 \ 2 \ 3 \ 2$$

$$x_2: 2 \ 3 \ 1 \ 2 \ 1 \ 5 \ 2$$

$$x_3: 2 \ 3 \ 6 \ 1 \ 1 \ 3 \ 4$$

$$x_4: 5 \ 3 \ 4 \ 1 \ 5 \ 3 \ 2$$

5.6 Klasyfikacja

Klasyfikacja nowego przypadku x_* odbywa się na drodze głosowania reprezentantów. Najpierw jednak musimy wyznaczyć wagi do głosowania. W tym celu trzeba dokonać oceny reguł. Może do tego posłużyć jedna z funkcji opisanych w punkcie 4.1. Następnie wyliczamy wagi, podobnie jak w systemie klasycznym:

$$Waga(R_i) = \frac{Q_K(R_i)}{\sum_{\{R:d^R=d^{R_i}\}} Q_K(R)}$$

Gdzie $Q_K(R)$ jest funkcją oceniającą regułę R . Dodatkowo możemy zażądać aby klasa decyzyjna, która uzyskała największe poparcie w głosowaniu miała sumę głosów nie mniejszą niż:

$$\frac{p \cdot \sum_{\{i:R_i(x_*) \neq d^i\}} Waga(R_i)}{|\mathbb{D}|}$$

Gdzie $p \in \langle 1, 2 \rangle$ jest pewnym parametrem, możemy przykładowo przyjąć $p = 1.05$. Jeśli powyższy warunek nie jest spełniony wówczas system decyzyjny nie rozpoznaje klasyfikowanego obiektu x_* . Dzięki takiemu zabiegowi można ustrzec się nadmiaru błędnie klasyfikowanych przypadków, kosztem zwiększenia liczby obiektów, które nie zostaną sklasyfikowane.

5.7 Parametry algorytmu reprezentantów

Przedstawiony system decyzyjny może być dopasowywany do potrzeb analizowanych danych poprzez odpowiedni dobór poniższych elementów algorytmu:

- podział zbioru \mathbb{X} na dwa podzbiory: $\{x_1, \dots, x_k\}$, oraz $\{x_{k+1}, \dots, x_{k+m}\}$
- dopuszczalny błąd podczas skracania reguł
- funkcja Q_R oceniająca zachowanie się reguł na nowych danych
- funkcja Q_W oceniająca ogólną skuteczność reguł
- funkcja d mierząca odległość pomiędzy dwoma regułami uwzględniając ich struktury logiczne
- funkcja Q_K oceniająca skuteczność reprezentantów
- parametr p określający wymagane poparcie przy głosowaniu reprezentantów

Znaczenie wymienionych elementów zostało omówione już wcześniej. Doświadczenia pokazały, że niewłaściwy dobór większej liczby parametrów powoduje obniżenie skuteczności systemu lub zwiększenie liczby reprezentantów.

6 Wyniki doświadczeń

Chciałbym przedstawić teraz wyniki przeprowadzonych przeze mnie doświadczeń. Wszystkie testowane systemy decyzyjne zostały zaimplementowane zgodnie z podanym powyżej opisem.

Test został wykonany przy użyciu metody CV5 (Cross Validation), polegającej na podziale posiadanej tablicy decyzyjnej na pięć części i wykonaniu pięciu testów opuszczając

za każdym razem inny z wyznaczonych fragmentów. Opuszczone fragmenty tablicy decyzyjnej posłużyły do oceny badanego systemu decyzyjnego. Uzyskane w ten sposób dane, z pięciu doświadczeń, zostały uśrednione i wpisane do poniższych tabel.

Poniżej przedstawiam charakterystykę danych testowych, oraz kompletne wyniki uzyskane przez każdy z opisywanych wyżej systemów. Ze względu na dużą liczbę przedstawionych wyników niezbędne okazało się zestawienie statystyczne, które przedstawiłem na końcu pracy.

6.1 Dane testowe

Do przeprowadzenia testów użyłem następujących tablic testowych:

Nazwa tablicy decyzyjnej	Liczba			Średnia liczba wart. atrybutów	Rozkład klas decyzyjnych w tablicy
	przykładów	atryb. war.	klas dec.		
Austra0	690	14	2	83.4	44.5%, 55.5%
Austra1	345	14	2	55.0	56.2%, 43.8%
Austra2	345	14	2	56.8	54.8%, 45.2%
Diab0	768	8	2	156.4	65.1%, 34.9%
Diab1	384	8	2	111.9	65.6%, 34.4%
Diab2	384	8	2	111.5	64.6%, 35.4%
Heart0	270	13	2	29.5	55.6%, 44.4%
Heart1	135	13	2	22.6	56.3%, 43.7%
Heart2	135	13	2	22.8	45.2%, 54.8%
Irys	120	4	3	29.0	32.5%, 31.7%, 35.8%
Kan 1	84	16	17	8.1	3.6%, 7.1%, 7.1%, 15.5%, 1.2%, 3.6%, 2.4%, 7.1%, 1.2%, 2.4%, 2.4%, 6.0%, 22.6%, 2.4%, 1.2%, 9.5%, 4.8%
Kan 12	84	17	15	8.0	21.4%, 4.8%, 42.9%, 4.8%, 6.0%, 3.6%, 1.2%, 3.6%, 4.8%, 1.2%, 1.2%, 1.2%, 1.2%, 1.2%, 1.2%
Kan 2	84	16	14	7.5	25.0%, 41.7%, 1.2%, 2.4%, 3.6%, 2.4%, 1.2%, 4.8%, 6.0%, 3.6%, 4.8%, 1.2%, 1.2%, 1.2%
Kan 21	84	17	15	8.1	32.1%, 16.7%, 6.0%, 1.2%, 7.1%, 2.4%, 1.2%, 4.8%, 9.5%, 4.8%, 3.6%, 7.1%, 1.2%, 1.2%, 1.2%
Lymn0	148	18	4	3.3	54.7%, 41.2%, 2.7%, 1.4%
Lymn1	74	18	4	3.2	37.8%, 58.1%, 2.7%, 1.4%
Lymn2	74	18	4	3.3	44.6%, 51.4%, 2.7%, 1.4%
Monk1dat	124	6	2	2.8	50.0%, 50.0%
Monk1tes	432	6	2	2.8	50.0%, 50.0%
Monk2dat	169	6	2	2.8	37.9%, 62.1%
Monk2tes	432	6	2	2.8	67.1%, 32.9%
Monk3dat	122	6	2	2.8	50.8%, 49.2%
Monk3tes	432	6	2	2.8	52.8%, 47.2%
Tttt	615	8	2	140.1	65.2%, 34.8%

6.2 System KNN

Dla systemu KNN przyjąłem $k = 1$.

Tablica decyzyjna	Przypadki rozpoznane			Liczba reguł	średni czas klasyfikacji
	prawidłowo	błędnie	nierozpoznane		
Austra0	84.06%	15.94%	0.00%	0.00	0.28 s
Austra1	81.16%	18.84%	0.00%	0.00	0.08 s
Austra2	84.35%	15.65%	0.00%	0.00	0.07 s
Diab0	65.89%	34.11%	0.00%	0.00	0.24 s
Diab1	62.50%	37.50%	0.00%	0.00	0.06 s
Diab2	62.76%	37.24%	0.00%	0.00	0.06 s
Heart0	80.74%	19.26%	0.00%	0.00	0.04 s
Heart1	82.96%	17.04%	0.00%	0.00	0.02 s
Heart2	77.78%	22.22%	0.00%	0.00	< 0.01 s
Irys	87.50%	12.50%	0.00%	0.00	< 0.01 s
Kan 1	25.00%	75.00%	0.00%	0.00	0.04 s
Kan 12	38.10%	59.52%	2.38%	0.00	0.02 s
Kan 2	44.05%	55.95%	0.00%	0.00	0.02 s
Kan 21	34.52%	65.48%	0.00%	0.00	0.02 s
Lymn0	79.73%	20.27%	0.00%	0.00	0.18 s
Lymn1	70.27%	29.73%	0.00%	0.00	0.01 s
Lymn2	77.03%	22.97%	0.00%	0.00	< 0.01 s
Monk1dat	78.23%	21.77%	0.00%	0.00	0.01 s
Monk1tes	99.77%	0.23%	0.00%	0.00	0.05 s
Monk2dat	59.17%	40.83%	0.00%	0.00	0.02 s
Monk2tes	58.56%	41.44%	0.00%	0.00	0.06 s
Monk3dat	81.97%	18.03%	0.00%	0.00	< 0.01 s
Monk3tes	98.15%	1.85%	0.00%	0.00	0.05 s
Tttt	66.67%	33.33%	0.00%	0.00	0.16 s
średnio	70.04%	29.86%	0.10%	0.00	0.06 s

6.3 System klasyczny

Wyniki systemu klasycznego ze standardowym głosowaniem:

Tablica decyzyjna	Przypadki rozpoznane			Liczba reguł	średni czas klasyfikacji
	prawidłowo	błędnie	nierozpoznane		
Austra0	84.78%	14.78%	0.43%	9268.60	0.38 s
Austra1	80.29%	19.71%	0.00%	4482.00	0.11 s
Austra2	86.09%	13.91%	0.00%	4082.80	0.09 s
Diab0	67.58%	32.29%	0.13%	6651.60	0.23 s
Diab1	64.58%	35.42%	0.00%	2987.40	0.02 s
Diab2	64.84%	34.90%	0.26%	2894.60	0.04 s
Heart0	80.37%	19.63%	0.00%	4027.40	0.10 s
Heart1	81.48%	18.52%	0.00%	1623.40	0.02 s
Heart2	78.52%	21.48%	0.00%	1724.00	< 0.01 s
Irys	87.50%	11.67%	0.83%	169.00	0.01 s
Kan 1	20.24%	79.76%	0.00%	3118.00	0.04 s
Kan 12	27.38%	72.62%	0.00%	3310.60	0.02 s
Kan 2	34.52%	65.48%	0.00%	2423.80	0.04 s
Kan 21	32.14%	67.86%	0.00%	3777.80	0.02 s
Lymn0	81.76%	18.24%	0.00%	5324.80	0.12 s
Lymn1	75.68%	24.32%	0.00%	2167.20	0.02 s
Lymn2	71.62%	28.38%	0.00%	2494.00	0.02 s
Monk1dat	81.45%	18.55%	0.00%	155.60	< 0.01 s
Monk1tes	100.00%	0.00%	0.00%	73.80	< 0.01 s
Monk2dat	61.54%	38.46%	0.00%	231.00	< 0.01 s
Monk2tes	50.69%	49.31%	0.00%	208.80	0.01 s
Monk3dat	88.52%	11.48%	0.00%	133.20	< 0.01 s
Monk3tes	99.77%	0.23%	0.00%	43.40	< 0.01 s
Tttt	68.13%	31.54%	0.33%	5168.40	0.12 s
średnio	69.56%	30.36%	0.08%	2772.55	0.06 s

Poniżej przedstawiam wyniki systemu klasycznego opartego na skróconych regułach. Maksymalny dopuszczalny błąd dla każdej skracanej reguły wynosi 20%.

Tablica decyzyjna	Przypadki rozpoznane			Liczba reguł	średni czas klasyfikacji
	prawidłowo	błędnie	nerozpoznane		
Austra0	84.06%	15.94%	0.00%	6552.00	0.29 s
Austra1	82.90%	17.10%	0.00%	3345.40	0.09 s
Austra2	86.09%	13.91%	0.00%	2836.60	0.07 s
Diab0	67.45%	32.42%	0.13%	5218.40	0.18 s
Diab1	66.67%	33.33%	0.00%	2432.00	0.03 s
Diab2	63.80%	36.20%	0.00%	2342.20	0.03 s
Heart0	82.96%	17.04%	0.00%	2873.40	0.05 s
Heart1	79.26%	20.74%	0.00%	1159.40	0.01 s
Heart2	81.48%	18.52%	0.00%	1358.60	< 0.01 s
Irys	89.17%	10.83%	0.00%	143.80	< 0.01 s
Kan 1	20.24%	79.76%	0.00%	3089.40	0.05 s
Kan 12	35.71%	64.29%	0.00%	3086.80	0.04 s
Kan 2	35.71%	64.29%	0.00%	2251.60	0.03 s
Kan 21	33.33%	66.67%	0.00%	3667.20	0.05 s
Lymn0	77.70%	22.30%	0.00%	3160.40	0.10 s
Lymn1	81.08%	18.92%	0.00%	1349.20	< 0.01 s
Lymn2	79.73%	20.27%	0.00%	1693.60	< 0.01 s
Monk1dat	79.84%	20.16%	0.00%	100.20	< 0.01 s
Monk1tes	100.00%	0.00%	0.00%	61.00	< 0.01 s
Monk2dat	60.95%	39.05%	0.00%	154.00	< 0.01 s
Monk2tes	62.96%	37.04%	0.00%	163.00	< 0.01 s
Monk3dat	89.34%	10.66%	0.00%	79.40	< 0.01 s
Monk3tes	97.22%	2.78%	0.00%	32.00	< 0.01 s
Tttt	68.29%	31.54%	0.16%	4103.20	0.13 s
średnio	71.08%	28.91%	0.01%	2135.53	0.05 s

Jak możemy zaobserwować, skuteczność systemu po skróceniu reguł, wzrosła. Każda pojedyncza reguła popełnia teraz więcej błędów, ale dzięki ich dużej liczbie i stosowanemu przy klasyfikacji głosowaniu efekt ten nie jest odczuwalny. Jednocześnie wszystkie reguły uległy uogólnieniu dzięki czemu zmniejszyła się liczba nierozpoznawanych obiektów. Skrócenie reguł w naturalny sposób spowodowało zmniejszenie ich liczebności.

6.4 Systemy QbF

W wykonanych przeze mnie doświadczeniach po ocenie reguł wybrano 20 najlepszych, a następnie dodawano kolejne reguły, które zostały ocenione tak samo jak najslabsza reguła z pierwszej dwudziestki. Jako górne ograniczenie liczby reguł przyjąłem: $\max(60, 33\%$ wszystkich reguł). W testach brał udział również system QbF 13 oparty na funkcji Q_{13} . Działają tutaj następująco: wybiera największą dopuszczalną liczbę reguł (dowolnych) i używa ich (tak jak pozostałe systemy QbF) do klasyfikacji. Poniżej przedstawiam średnie wyniki uzyskane przez wszystkie omawiane systemy QbF:

System decyzyjny	Przypadki rozpoznane			Liczba reguł	średni czas klasyfikacji
	prawidłowo	błędnie	nierozpoznane		
QbF 1	39.18%	16.91%	43.91%	42.75	0.02 s
QbF 2	39.02%	16.97%	44.02%	42.61	0.04 s
QbF 3	39.11%	16.96%	43.94%	42.70	0.04 s
QbF 4	27.07%	18.01%	54.92%	48.24	0.05 s
QbF 5	49.12%	13.73%	37.15%	24.52	0.06 s
QbF 6	49.12%	13.73%	37.15%	24.52	0.06 s
QbF 7	23.63%	19.79%	56.59%	67.47	0.06 s
QbF 8	57.41%	32.20%	10.39%	590.84	0.08 s
QbF 9	24.46%	19.62%	55.92%	68.97	0.07 s
QbF 10	38.67%	16.94%	44.39%	42.98	0.08 s
QbF 11	29.28%	34.89%	35.83%	427.73	0.08 s
QbF 12	53.37%	14.02%	32.61%	25.25	0.09 s
QbF 13	52.26%	35.73%	12.01%	590.92	0.10 s
średnio	38.76%	21.44%	39.80%	149.36	0.06 s

6.5 System QbF z doborem miary

Poniżej przedstawiam wyniki systemu QbF dobierającego funkcję oceniającą reguły w zależności od danych:

Tablica decyzyjna	Przypadki rozpoznane			Liczba reguł	średni czas klasyfikacji	System QbF
	prawidłowo	błędnie	nierozpoznane			
Austra0	80.58%	18.12%	1.30%	2015.00	0.07 s	QbF 13
Austra1	79.42%	20.58%	0.00%	983.20	< 0.01 s	QbF 13
Austra2	81.45%	16.81%	1.74%	895.20	< 0.01 s	QbF 8
Diab0	48.44%	28.65%	22.92%	1442.00	0.01 s	QbF 13
Diab1	26.56%	10.68%	62.76%	29.40	< 0.01 s	QbF 12
Diab2	44.27%	26.04%	29.69%	612.00	0.03 s	QbF 13
Heart0	74.44%	23.70%	1.85%	838.60	< 0.01 s	QbF 8
Heart1	66.67%	13.33%	20.00%	21.80	< 0.01 s	QbF 12
Heart2	68.15%	14.07%	17.78%	22.80	< 0.01 s	QbF 12
Irys	71.67%	6.67%	21.67%	26.60	< 0.01 s	QbF 12
Kan 1	9.52%	48.81%	41.67%	26.20	0.27 s	QbF 5
Kan 12	33.33%	22.62%	44.05%	23.00	0.23 s	QbF 12
Kan 2	35.71%	20.24%	44.05%	27.20	0.16 s	QbF 12
Kan 21	23.81%	41.67%	34.52%	43.60	0.30 s	QbF 12
Lymn0	66.89%	11.49%	21.62%	24.80	1.02 s	QbF 12
Lymn1	67.57%	16.22%	16.22%	22.80	0.11 s	QbF 5
Lymn2	74.32%	14.86%	10.81%	23.80	0.11 s	QbF 5
Monk1dat	79.03%	4.03%	16.94%	22.20	< 0.01 s	QbF 5
Monk1tes	93.52%	0.00%	6.48%	21.80	< 0.01 s	QbF 12
Monk2dat	56.80%	20.71%	22.49%	24.00	< 0.01 s	QbF 12
Monk2tes	40.51%	2.55%	56.94%	20.80	< 0.01 s	QbF 1
Monk3dat	80.33%	6.56%	13.11%	21.00	< 0.01 s	QbF 5
Monk3tes	98.84%	1.16%	0.00%	20.80	< 0.01 s	QbF 5
Tttt	41.95%	27.48%	30.57%	1128.20	0.02 s	QbF 8
średnio	60.16%	17.38%	22.47%	347.37	0.10 s	–

Jak widać średnia skuteczność tego systemu znacznie przewyższa skuteczność systemów QbF opartych tylko na jednej funkcji. Przykład ten pokazuje jak dużą rolę odgrywa umiejętny dobór stosowanych metod w zależności od analizowanych danych.

6.6 System QbF ze skracaniem reguł

Poniższa tabela prezentuje wyniki systemu QbF dobierającego funkcję oceniającą i opartego na skróconych regułach. Maksymalny dopuszczalny błąd dla każdej skracanej reguły wynosi 20%.

Tablica decyzyjna	Przypadki rozpoznane			Liczba reguł	średni czas klasyfikacji	System QbF
	prawidłowo	błędnie	nierozpoznane			
Austra0	84.20%	12.61%	3.19%	24.00	0.01 s	QbF 4
Austra1	80.58%	12.46%	6.96%	21.80	< 0.01 s	QbF 10
Austra2	85.51%	12.75%	1.74%	27.80	< 0.01 s	QbF 4
Diab0	42.71%	15.36%	41.93%	20.80	0.01 s	QbF 12
Diab1	42.97%	17.19%	39.84%	25.20	< 0.01 s	QbF 12
Diab2	36.46%	14.84%	48.70%	29.00	< 0.01 s	QbF 5
Heart0	82.96%	17.04%	0.00%	20.20	< 0.01 s	QbF 1
Heart1	85.19%	13.33%	1.48%	20.20	0.01 s	QbF 2
Heart2	82.22%	17.78%	0.00%	20.60	< 0.01 s	QbF 3
Irys	71.67%	7.50%	20.83%	24.80	0.03 s	QbF 5
Kan 1	9.52%	47.62%	42.86%	26.00	0.33 s	QbF 5
Kan 12	39.29%	36.90%	23.81%	28.20	0.21 s	QbF 12
Kan 2	35.71%	33.33%	30.95%	25.00	0.16 s	QbF 12
Kan 21	23.81%	35.71%	40.48%	22.60	0.26 s	QbF 12
Lymn0	75.68%	18.92%	5.41%	25.00	0.68 s	QbF 5
Lymn1	75.68%	24.32%	0.00%	22.40	0.08 s	QbF 12
Lymn2	74.32%	13.51%	12.16%	22.60	0.13 s	QbF 5
Monk1dat	81.45%	6.45%	12.10%	21.60	< 0.01 s	QbF 5
Monk1tes	95.37%	0.00%	4.63%	20.20	< 0.01 s	QbF 5
Monk2dat	52.07%	24.85%	23.08%	31.20	< 0.01 s	QbF 1
Monk2tes	56.94%	30.79%	12.27%	20.60	< 0.01 s	QbF 12
Monk3dat	88.52%	9.84%	1.64%	21.00	< 0.01 s	QbF 5
Monk3tes	97.22%	2.78%	0.00%	20.00	< 0.01 s	QbF 5
Tttt	37.89%	14.15%	47.97%	23.40	< 0.01 s	QbF 12
średnio	64.08%	18.33%	17.58%	23.51	0.08 s	—

Jak widać rozszerzenie systemu QbF o dobór miary i skracanie reguł daje doskonałe rezultaty. Nie tylko wzrosła skuteczność systemu, lecz również znacznie zmalała liczba reguł.

6.7 System reprezentantów

W punkcie tym pragnę zaprezentować wyniki systemu reprezentantów. Do każdej tablicy decyzyjnej zostały dobrane inne parametry wymienione w punkcie 5.7.

Tablica decyzyjna	Przypadki rozpoznane			Liczba reguł	średni czas klasyfikacji
	prawidłowo	błędnie	nierozpoznane		
Austra0	85.51%	14.49%	0.00%	24.80	0.01 s
Austra1	80.00%	20.00%	0.00%	30.60	< 0.01 s
Austra2	87.25%	12.75%	0.00%	26.40	< 0.01 s
Diab0	66.02%	33.98%	0.00%	146.60	< 0.01 s
Diab1	62.76%	37.24%	0.00%	90.40	< 0.01 s
Diab2	67.45%	32.55%	0.00%	77.80	0.02 s
Heart0	83.70%	16.30%	0.00%	13.40	< 0.01 s
Heart1	80.00%	20.00%	0.00%	15.40	< 0.01 s
Heart2	75.56%	24.44%	0.00%	11.00	< 0.01 s
Irys	92.50%	7.50%	0.00%	24.80	0.07 s
Kan 1	14.29%	83.33%	2.38%	150.00	< 0.01 s
Kan 12	39.29%	60.71%	0.00%	116.60	0.01 s
Kan 2	40.48%	59.52%	0.00%	100.00	< 0.01 s
Kan 21	33.33%	66.67%	0.00%	127.40	< 0.01 s
Lymn0	81.76%	18.24%	0.00%	49.40	0.16 s
Lymn1	81.08%	18.92%	0.00%	44.00	< 0.01 s
Lymn2	83.78%	16.22%	0.00%	30.00	0.06 s
Monk1dat	90.32%	9.68%	0.00%	59.00	< 0.01 s
Monk1tes	100.00%	0.00%	0.00%	49.40	0.01 s
Monk2dat	68.64%	28.40%	2.96%	67.20	< 0.01 s
Monk2tes	66.20%	33.80%	0.00%	22.60	< 0.01 s
Monk3dat	93.44%	6.56%	0.00%	27.60	< 0.01 s
Monk3tes	97.22%	2.78%	0.00%	13.20	< 0.01 s
Tttt	65.69%	34.31%	0.00%	45.40	< 0.01 s
średnio	72.34%	27.43%	0.22%	56.79	0.02 s

Prezentowany system reprezentantów podobnie jak system klasyczny, charakteryzuje się niewielką liczbą nierozpoznanych obiektów. Oba te systemy popełniają jednak więcej błędów niż system QbF wzbogacony o dobór miary i skracanie reguł.

6.8 Podsumowanie wyników doświadczeń

W kolejnych punktach chciałbym przedstawić zestawienia statystyczne przedstawionych wyników doświadczeń. Pomogą one w porównaniu różnych systemów decyzyjnych.

6.8.1 Średnie wyniki dla tablic decyzyjnych

Tablica decyzyjna	Przypadki rozpoznane			Liczba reguł	średni czas klasyfikacji
	prawidłowo	błędnie	nerozpoznane		
Austra0	55.80%	11.41%	32.79%	1209.00	0.06 s
Austra1	60.19%	14.61%	25.20%	603.56	0.02 s
Austra2	61.84%	12.46%	25.70%	540.70	0.02 s
Diab0	30.48%	16.49%	53.03%	936.27	0.04 s
Diab1	29.84%	19.48%	50.68%	410.79	0.01 s
Diab2	31.72%	18.89%	49.39%	411.83	0.01 s
Heart0	59.41%	16.91%	23.68%	527.23	0.01 s
Heart1	62.52%	17.67%	19.82%	207.08	< 0.01 s
Heart2	63.11%	20.96%	15.93%	227.18	< 0.01 s
Irys	63.83%	7.96%	28.21%	39.88	0.02 s
Kan 1	8.15%	59.76%	32.08%	447.83	0.15 s
Kan 12	17.68%	47.56%	34.76%	436.49	0.11 s
Kan 2	19.58%	51.07%	29.35%	337.73	0.08 s
Kan 21	14.23%	48.99%	36.78%	514.24	0.15 s
Lymn0	42.43%	19.05%	38.51%	569.93	0.56 s
Lymn1	45.41%	23.24%	31.35%	253.45	0.05 s
Lymn2	44.80%	29.59%	25.61%	302.27	0.07 s
Monk1dat	69.44%	16.81%	13.75%	39.11	< 0.01 s
Monk1tes	84.50%	4.43%	11.06%	29.47	< 0.01 s
Monk2dat	44.32%	29.35%	26.33%	49.07	< 0.01 s
Monk2tes	38.17%	21.88%	39.95%	46.72	< 0.01 s
Monk3dat	73.89%	12.58%	13.52%	32.30	< 0.01 s
Monk3tes	88.65%	4.83%	6.53%	21.83	< 0.01 s
Tttt	29.97%	16.91%	53.12%	718.16	0.03 s

6.8.2 Średnia skuteczność przedstawionych systemów decyzyjnych

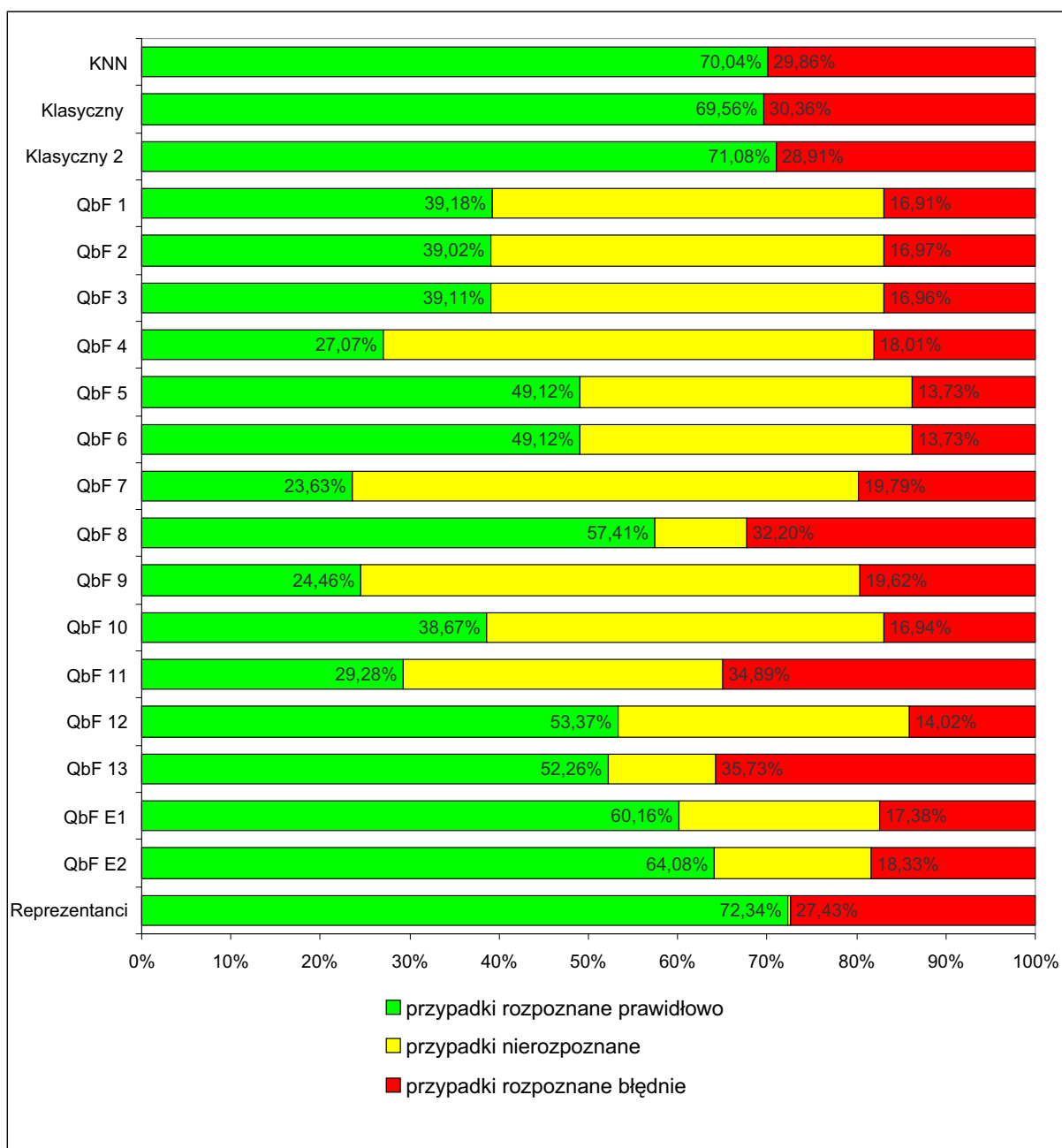
System decyzyjny	Przypadki rozpoznane			Liczba reguł	średni czas klasyfikacji
	prawidłowo	błędnie	nierozpoznane		
KNN	70.04%	29.86%	0.10%	0.00	0.06 s
Klasyczny	69.56%	30.36%	0.08%	2772.55	0.06 s
Klasyczny 2	71.08%	28.91%	0.01%	2135.53	0.05 s
QbF 1	39.18%	16.91%	43.91%	42.75	0.02 s
QbF 2	39.02%	16.97%	44.02%	42.61	0.04 s
QbF 3	39.11%	16.96%	43.94%	42.70	0.04 s
QbF 4	27.07%	18.01%	54.92%	48.24	0.05 s
QbF 5	49.12%	13.73%	37.15%	24.52	0.06 s
QbF 6	49.12%	13.73%	37.15%	24.52	0.06 s
QbF 7	23.63%	19.79%	56.59%	67.47	0.06 s
QbF 8	57.41%	32.20%	10.39%	590.84	0.08 s
QbF 9	24.46%	19.62%	55.92%	68.97	0.07 s
QbF 10	38.67%	16.94%	44.39%	42.98	0.08 s
QbF 11	29.28%	34.89%	35.83%	427.73	0.08 s
QbF 12	53.37%	14.02%	32.61%	25.25	0.09 s
QbF 13	52.26%	35.73%	12.01%	590.92	0.10 s
QbF E1	60.16%	17.38%	22.47%	347.37	0.10 s
QbF E2	64.08%	18.33%	17.58%	23.51	0.08 s
Reprezentanci	72.34%	27.43%	0.22%	56.79	0.02 s

Przyjęte oznaczenia systemów:

- KNN – system KNN dla $k = 1$ i najprostszej miary odległości
- Klasyczny – system klasyczny z prostym głosowaniem
- Klasyczny 2 – system klasyczny oparty na skróconych regułach
- QbF n – system QbF używający do selekcji reguł funkcji Q_n
- QbF E1 – system QbF rozbudowany o dobór funkcji Q_n
- QbF E2 – system QbF wzbogacony o dobór funkcji oceniającej i skracanie reguł
- Reprezentanci – system reprezentantów przedstawiony w rozdziale 5

6.8.3 Reprezentacja graficzna

Poniżej przedstawiam reprezentację graficzną uzyskanych wyników. Taka forma prezentacji ułatwia porównanie przedstawionych metod.



7 Podsumowanie i wnioski

Przedstawione wyniki doświadczeń pokazują, że zmniejszenie liczby reguł decyzyjnych nie zawsze wiąże się z utratą jakości klasyfikacji. Łatwo też zauważyć, że skracanie reguł połączone ze znanymi już metodami również daje doskonałe rezultaty.

Zaproponowany system reprezentantów może z powodzeniem konkurować ze wszystkimi przedstawionymi metodami. Dla wielu tablic decyzyjnych uzyskał on najlepsze rezultaty. Jego dodatkowym atutem jest możliwość adaptowania go do różnego rodzaju danych poprzez odpowiedni dobór parametrów wymienionych w punkcie 5.7.

System reprezentantów jest oparty o bardziej rozbudowane reguły niż systemy klasyczne. Pozwala to na ogólniejszy opis aproksymowanych pojęć przy jednoczesnym zachowaniu jego wysokiej jakości.

Problem redukcji i łączenia reguł jest bardzo obszerny i trudno go wyczerpać w ramach pracy magisterskiej. Mam jednak nadzieję, że moja praca i uzyskane wyniki przyczynią się do dalszych badań w tym zakresie.

Bibliografia

- [1] Thomas Ågotnes, „Filtering large propositional rule sets while retaining classifier performance”, Department of Computer and Information Science, Norwegian University of Science and Technology, 1999
- [2] Jan G. Bazan, „Metody wnioskowań aproksymacyjnych dla syntezy algorytmów decyzyjnych”, praca doktorska, Instytut Matematyki UW, 1998
- [3] Jan G. Bazan, Andrzej Skowron, Piotr Synak, „Dynamic reducts as a tool for extracting laws from decision tables”, Proc. International Symposium on Methodologies for Intelligent Systems, Lecture Notes in Artificial Intelligence Vol.869, Springer-Verlag, 1994, 346–355
- [4] I. Bruha, „Quality of decision rules”, Machine Learning and Statistics (The Interface, rozdział 5.), 1997
- [5] R. C. Holte, „Very simple classification rules perform well on most commonly used datasets”, Machine Learning 1993, 11:63-91
- [6] Huan Liu, Hireshi Motoda, „Feature extraction construction and selection a data mining perspective”, Kluwer Academic Publishers, 1998
- [7] Huan Liu, Hireshi Motoda, „Feature selection for knowlege discovery and data mining”, Kluwer Academic Publishers, 1998
- [8] D. Michie, D.J. Spiegelhalter, C.C. Taylor, „Machine learning, neural and statistical classification”, Ellis Horwood series in Artificial Intelligence, 1994
- [9] T. Mitchell, „Machine Learning”, McGraw-Hill New York, 1997
- [10] Hoa S. Nguyen, „Data regularity analysis and applications in data mining”, Uniwersytet Warszawski, 1999
- [11] Z. Pawlak, „Rough sets – Theoretical aspects of reasoning about data”, Kluwer Academic Publishers, Dordrecht, 1991
- [12] L. Polkowski, A. Skowron, „Rough sets in knowledge discovery”, Physica Verlag Vol. 1-2, Heidelberg, 1998
- [13] J. Rissanen, „Modeling by the shortest data description”, Authomatica 14, 1978, 465-471